

附表 III. 種別 C の熔解成績

註：(分析試料採取時期欄にて[1]とあるは第一熔解、解落 10 mn 後[2]は第二熔解造滓剤投入後に採取)

熔解番號	第一熔解配合 (%)	分析試料 採取時期	鋼浴化學分析値(%)					鋼滓化學分析値(%)					第二回 熔解造 滓剤	熔解所要時間				裝入 屯數		
			C	Si	Mn	P	S	SiO <sub>2</sub>	FeO	MnO	CaO	CaO/SiO		解落	第一 熔解	出鋼 注入	第二 熔解			
46	兼二浦銑 ターダー銑 鞍山銑 スケール 石灰石	40 50 10 7 7	原料 1 2 2 7 7	3.91 3.43 2.50 0.04 2.30	0.98 0.07 0.02 0.04 0.04	1.41 0.67 0.03 0.38 0.38	0.239 0.114 0.005 0.006 0.016	0.051 0.029 0.023 0.016 11.22	— 24.32 10.60 2.28 10.84	— 20.08 19.95 28.35 40.72	— 15.11 29.03 28.35 3.63	— 30.40 2.68 1.21 —	Sc-1	hmn 5-05	hmn 45	mn 20	hmn 2-00	h mn 8-10	t 26	
47	兼二浦銑 ターダー銑 スケール 石灰石	40 60 12 7	原料 1 2 2 7	3.95 2.87 2.51 1.76	1.00 0.02 0.01 0.02	1.38 0.24 0.21 0.29	0.271 0.033 0.011 0.007	0.042 0.031 0.023 0.012	— 21.4 18.82 —	— 19.75 9.56 —	— 14.41 47.16 —	— 28.60 4.71 —	Sc-1	4-50	25	20	2-45	8-20	26	
48	兼二浦銑 ターダー銑 スケール 石灰石	40 60 12 5	原料 1 2 2 5	3.95 3.55 2.72 2.68	1.00 0.09 0.01 0.01	1.38 0.12 0.20 0.49	0.271 0.029 0.003 0.005	0.042 — 0.019 0.011	— 24.30 11.20 8.98	— 21.55 8.60 51.45	— 13.36 8.60 4.95	— 25.88 51.45 —	Sc-2	4-00	1-15	20	1-35	7-10	26	
49	兼二浦銑 ターダー銑 スケール 石灰石	40 60 12 5	原料 1 2 2 5	3.95 3.29 2.78 2.94	1.00 0.04 0.01 0.04	1.38 0.04 0.30 0.47	0.271 0.106 0.023 0.013	0.042 0.026 0.016 0.013	— 25.7 4.74 —	— 20.36 7.08 —	— 10.28 5.94 —	— 30.52 60.20 12.70	Sc-2	4-25	35	22	1-08	6-30	26	
50	兼二浦銑 ターダー銑 スケール 石灰石	30 70 10 5	原料 1 2 2 5	3.91 3.50 3.35 —	1.51 0.20 0.07 —	0.92 0.48 0.93 —	0.250 0.154 0.092 —	0.047 0.021 0.006 —	— — 12.12 —	— — 1.43 —	— — 60.77 —	— 1.19 5.01 —	Sc-2	4-10	30	29	53	6-21	26	
52	バーン銑 スケール 石灰石	100 12 12	原料 1 2 2	4.13 3.45 3.06	1.54 — —	1.24 0.04 0.28	0.265 0.092 0.003	0.023 0.021 0.010	— — 2.24	28.98 6.68 6.68	21.91 57.5 57.5	10.28 26.0 25.0	0.90	Sc-2	4-05	20	24	1-36	6-25	26

## 鹽基性電氣製鋼法の基本的概念に就て

(日本鐵鋼協會第 26 回講演大會講演 昭 16. 10. 東京)

小 平 勇\*

## FUNDAMENTAL IDEAS OF THE BASIC ELECTRIC FURNACE FOR STEEL MAKING

Isamu Kohira, Kôgakuhakusi

**SYNOPSIS:**— The characteristics of the method of the electric arc steel making were said to lie in that either the method oxidation or that of reduction might be selected as the chemical reaction within the furnace is processed in a closed vessel; and that there is little change in the gas atmosphere of the furnace so as to make the reaction between the metal and the slag active and as near as possible to the chemical equilibrium. In the present paper, the author dealt with the charge control for desulphurization and decarburization and oreing, advantage of the method to slag off twice; and carbide and white slag method. Then the author referred to elimination of slag-inclusions, some working diagrams of the high quality steel and examination of the special steel.

## I. 緒 言

弧光式電氣製鋼法の特徴を指摘すると

(i) 爐内の化學反應は密閉器中で行はれるので酸化或は還元の何れをも選擇し得ること、且爐内のガス雰圍気に變化少く從つて地金と鋼滓との反応をして化學的平衡に餘

程接近して活潑に進行せしめ得る。

(ii) 強熱の弧光の下に於て強鹽基の還元鋼滓を人爲的に熟成し一方温度の調整容易である。

斯く考へ來るとき、電氣製鋼法は一般平爐製鋼法と製鋼の基本的理論は同一でも凡ての作業調整が容易となり、又操業上簡単となるので専ら高級鋼製鋼に利用せられる。

現代の高級鋼は磷及び硫黃は勿論微滓の少きこと、其の

\* 日鐵八幡製鐵所

他酸素、水素及び窒素等の少き所謂優良鋼を要求する。更に作業上より見れば品質上の問題のみならず製出鋼の凡てに不同的なきこと、安價にして多量生産を伴ふ如き製鋼方式を選定せねばならぬ。

外國技術の模倣時代には作業の熟練経験に重點を置かれたが彼等の水準より一步進めた今日に於ては技術的訓練に加へて飽くまで理論的根據を活用し所謂技術の合理化に邁進すべきである。

本文はこの意味に於て先づ普遍的理論より見たる應用方面と作業實績とを對應し塩基性電爐操業上の基本的概念の一端を記述し併せて當八幡製鐵所で實施しつゝある若干の作業方式を例示せんとするものである。

## II. 酸化

電爐法に於ける酸化反応を代表するものは脱焼であり、礫石投入に伴ふ沸騰攪拌により裝入原料中の不純成分、夾雜物の脱除、反応の促進及び溫度の均等化にあること一般周知の通りである。從つて操業上脱焼、脱炭及び礫石の三者の關係を知ることは先決問題である。

脱焼反応を圓滑に進行せしめるためには

$$(\Sigma P)/(\Sigma P) = K_P (FeO)^x (CaO)^y$$

の一般式に示される通り鋼滓成分の調整を重要とし從來の作業實績によれば

$$K_P = 40 \sim 80^*$$

である。然るに上式の關係は鋼滓と地金に分配せらるべき濃度比を表すもので更に脱焼の量的問題に對しては鋼滓量を考慮に入れねばならぬ。それは實際作業に於て爐況不順のときは別として、少くも普通の爐熱であり石灰の豊富に供給される條件では鋼滓の調整は比較的狭き範圍に限定せられるので寧ろ鋼滓量が重視せらるべきである。今裝入地金中の平均磷%に對し鋼滓量と脱焼との關係を算出すると次の如くである。

A 裝入地金重量	a 裝入地金中の P%
B 熔銅重量	b 熔銅中の [ΣP]
C 鋼滓重量	c 鋼滓中の (ΣP)

とすれば

$$aA = bB + cC$$

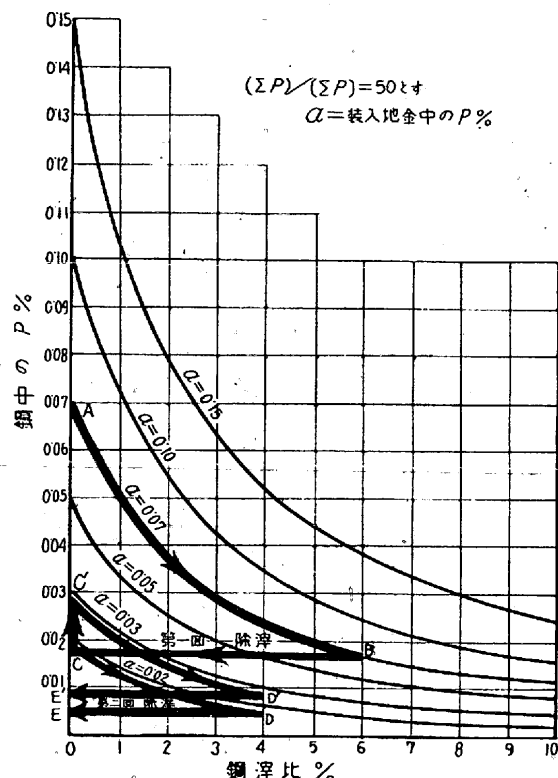
又  $(\Sigma P)/[\Sigma P] = c/b = K$  とすれば

$$b = aA/(B+CK) \%$$

上式に於て普通操業狀況の鋼滓成分 %  $SiO_2$  15~20,

\* 塩基性平爐では 40~100 である。

$CaO$  40~45,  $\Sigma Fe$  8~18,  $K_P = 50$  とせる場合に付き脱焼と鋼滓比 { (鋼滓量 / (熔銅重量) ) × 100% } との關係を示すと



第1圖 脱焼と鋼滓量との關係

第1圖の通りである。同圖の説明に就きては後述するが一應考へられることは

- (i) 脱焼に有利なる鋼滓量は略地金量に對し 4~8% 見當である。
- (ii) 裝入地金中の P% の高い程同一標準の P% まで脱除するには鋼滓比を大にせねばならぬ。
- (iii) 従つて高燒のときには差支なき限り<sup>1)</sup> 熔劑を多く配合使用することが有效である。
- (iv) これに反し低燒のときには鋼滓成分の調整が有效である。

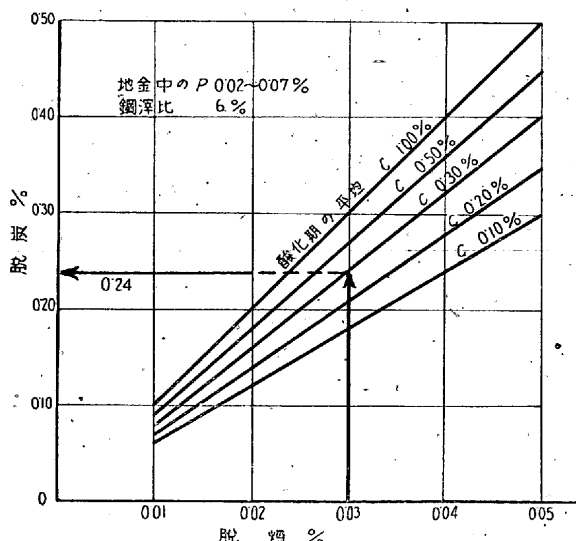
さて豫定脱焼が算定せられたとして次に考へらるべき問題は脱焼に伴ふて必然的に起る脱炭及び之に必要なる礫石量である。裝入配合中に見込むべき炭素量及び熔剤の使用量を定むべき一つの重要な事項であり得る。今八幡製鐵所の實績に於て鋼滓比 6% とし地金中の P% 0.02~0.07 の範圍につき平均脱焼 0.01% に對應する平均脱炭% 及び地金平均適當り礫石使用量 kg を求めるに第1表の通りである。

<sup>1)</sup> 鋼滓量の問題は脱焼の有無に拘らず精錬を進める上にもある適當量必要なること周知の通りであつて電爐では大體 4~8% 見當である。4~8% の鋼滓比は標準型の電爐では鋼滓の厚さ 40~80mm に相當する。鋼滓比 10% 以上は餘り好もしくない。

### 第 1 表

酸化期間の 平均 C%	脱炭% / 0.01% 脱硫 脱磷	鑛石 kg/t 地金・0.01%
0.10	0.045	9.5
0.15	0.060	9.0
0.20	0.070	7.7
0.30	0.080	7.2
0.50	0.090	7.2
1.00	0.100	7.0
2.00	0.100	7.0

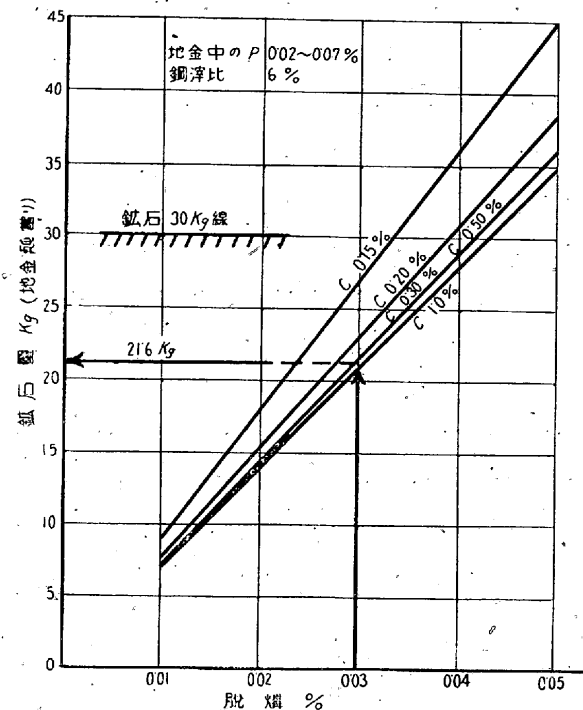
これで見ると脱磷に必要な脱炭は酸化期間に於ける地金中の C% で差異あり。低炭素程少くてすみ、例へば C 0.10% 程度の低炭素鋼では C 0.50% 以上の高炭素鋼に比較し 1/2 以下となつてゐる。この關係を更に圖示すると第 2 圖の通りであつて今假に脱磷を 0.03% 低下とし酸化期間の C% を 0.30 台の軟鋼質とすればこれに相應する脱炭 % は圖上より略 0.24% となることを知るべし。第 3 圖<sup>(2)</sup> は鑄石所要量を示したものでこの場合は同一脱磷%の所要鑄石量は低炭素鋼程増加し又前例に該當する鑄石量を圖上より求めると地金鉛當り 21.6 kg となることを知るべし。



第2圖 脱穀%と脱炭%との関係

次に脱磷の有無に拘らず酸化沸騰に必要なる鑛石量を見積らねばならぬ。この問題に就ては今日尙議論の餘地あるが日本學術振興會第 19 小委員會にて調査研究の結果に依れば略  $25\sim30 \text{kg/t}$  地金と云はれ、これには脱窒素、脱水素の問題も包含され、一方過量の鑛石加入は熔鋼の過酸化及び爐床の損傷を引き起すので自ら其處に限度あるべく作

2) 爐中に投入せらるゝ鑛石はその一部は鋼滓に滓化せられ残りの一部は脱炭及び脱磷に消費せられる。而して鋼滓に滓化せられる鑛石量は酸化期間を通じて多少の變化があるも末期まで残るが故に酸化期間の脱炭量により単位脱炭%當りの鑛石使用量には相違があるべく從つて第1表及び第3圖は當然修整さるべきものであるがこゝではその概算平均値を示したものである。



第3圖 脱磷%と所要鑄石量との関係

業上の経験によれば先づ前記の鑛石量は大體適當なりと考へられる。従つてこの數字を基礎とすれば裝入地金中の  $P\%$  の含量にも制限が與へらるべきを第3圖の例につき鑛石使用量を  $30kg$  とすれば高炭素鋼で脱磷  $0.045\%$ , 低炭素鋼で脱磷  $0.035\%$  見當となり假に酸化末期の  $P\%$  を  $0.015\%$  とすれば夫々  $0.060\%$ ,  $0.050\%$  にして高級鋼ではこの制限以下に  $P\%$  を選定することが理想である。裝入配合に於て若し  $P$ ,  $Si$ ,  $Mn$  等特に高きとき或は特殊鋼の戻り屑を多量に使用せんとするときは當然前記計算より更に多くの  $C\%$  を見積り酸化沸騰を十分行ふ必要があるが高級鋼を製造の目標とする限り多くの場合不利益である。

この問題は一つの対策として又酸化精錬に於て大なり小なり生ずる熔鋼の過酸化に對する緩和、高度の脱磷、脱磷の確保及び還元精錬期への圓滑なる轉換を目的として二回除滓法を推奨する。

二回除滓法とは全酸化期間を2段に区分し即ち酸化期の中間に於て大部分の初期鋼滓を排除して新熔剤を加へ第2次酸化を行ひ完全除滓する方法で精鍊の特徴及び技術的要領に就き補足説明する。即ち

i) 中間除滓によりて初めの比較的  $P\%$  の高き鋼滓が除去されるので脱滓の効果大にして且脱滓の目的に對し確實性あることである。

2 回除満法による數字的關係は第1圖を參照せられたし、例へば裝入地金中の  $P$  を  $0.07\%$  とし又此の場合の地

金量に對する鋼滓量の比を 6% と假定すれば第1次酸化期の終りに於て地金中の  $P\%$  は 0.018% となり次で完全除滓し、更めて第2次酸化期の鋼滓比を 4% とすればその末期に  $P$  が 0.005% まで低下すること圖中 ABCDE と順次線上を追ふことによりて求め得べし。然し實際問題として完全除滓は時間と労力とを要し且湯熱の急激なる低下を來すこと、第2次酸化期の鋼滓の熟成を迅速にする理由から 8 分通り出滓する方が作業上有利でこの關係は同様に ABCC'D'E' の線上を追ふことによりて知る通り最終末期の  $P$  は 0.009% となる。之を在來の一回除滓法に比すれば遙かに脱滓に對し有利なることを知るべく、從つて既述の高級炭素鋼に對する裝入地金中の制限  $P\% 0.05 \sim 0.06\%$  が二回除滓法により更に引き上げられ 0.08% まで實際作業上困難ではない。

ii) 酸化期を2段に區分して作業し、第1次酸化期に裝入鑛石の大部分を使用すれば十分なる沸騰攪拌を實施し得べく、又後半の第2次酸化期に於ては鑛石の投入量を控へ目とすれば鋼中に過飽和されたる  $[FeO]$  が緩和され専ら湯熱の上昇と石灰の滓化に十分なる手當を行ひ得るので結局必要程度の酸化沸騰と還元期への準備の何れの操作も圓滑に且容易に實施し得る利點が指摘される。

iii) 第1次酸化期に相當多量の鑛石を使用し得る。それは酸化の初期は地金中の  $C$  も高く且裝入地金中の  $P, Si, Mn$  の酸化與熱により脱炭による吸熱を補ふので溫度の變化少く過度の酸化によつても地金が爐内塗材に熔着する懼がない。

iv) 第2次酸化期に於て低炭素鋼の場合、過酸化防止のためフェロマンガン或は鐵鑛石の代りにマンガン鑛を使用すれば一回除滓法による普通法に比し有效に使用し得る。

v) 二回除滓法では第1次酸化期は低溫度、第2次酸化期は高溫度が有利であり、又一方鋼滓量も限定し得るが故に爐床及び内塗材の損傷も亦少くし得る筈である。

vi) 酸化期に於て脱硫がある程度行はれるが殊に二回除滓法に於て硫黄の高いとき有效にして、還元期の脱硫負擔を軽くすることが出来る。

### III. 還元期

還元反応の主體は脱硫及び脱酸を目標とすることは勿論其の他出来る限り  $H_2, N_2$  の熔解増量を防止すると共に地金中の夾雜微滓の鎮靜手當をなすべく、その間鋼質成分、湯熱の調整を迅速に完了せしめることが實際作業への理想

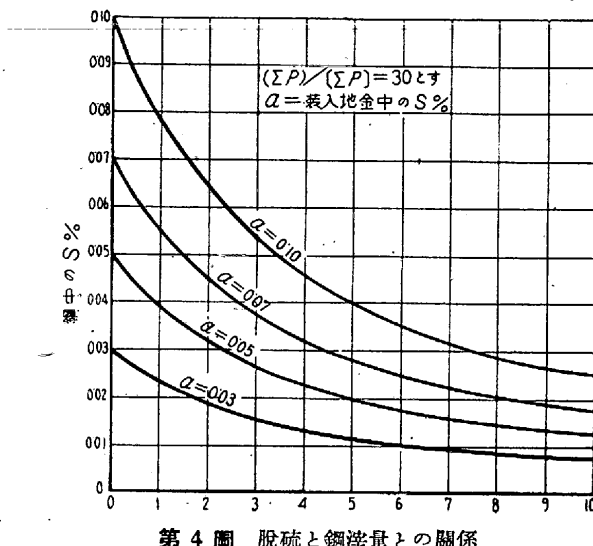
である。

還元精錬法を代表するものがカーバイト法にしてカーバイト鋼滓の熟成によりて脱硫は極めて容易に行はれ實際作業では極度に  $(FeO)$  を低下し得るので 0.01%  $S$  以下にすることは困難でない。即ち

$$(S)/[S] = K_s(CaO)/(FeO)$$

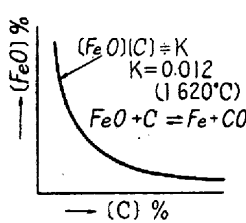
$$K_s^* = 30 \sim 50$$

にして又鋼滓量との關係は第1圖縦の關係と同様の方式により求めると第4圖に示す通りである。但し鋼滓成分 %  $SiO_2 15 \sim 20, CaO 60 \sim 65, [\Sigma Fe] 0.5 \sim 1.0, (\Sigma S)/[S] = 30$  の普通作業を基準とするものである。



第4圖 脱硫と鋼滓量との關係

然るに脱酸の問題につきては同法が炭素による一つのガス擴散法にして脱酸成生物を熔銅



第5圖

に生ぜしめざる有利の點あるが、第5圖  $[C]$  及び  $[FeO]$  平衡圖により明かなる如く、熔銅中の  $C\%$  に對應して脱酸し得る限度のあることを記憶せねばならぬ。即ちある一定の溫度では如何に條件がよくても  $C$  に對する平衡値以上に還元が行はれ得ないのである。高炭素鋼では  $C$  に平衡すべき  $[FeO]$  は極めて小なること、換言すれば熔銅中の  $C$  それ自體が脱酸力を發揮するので脱酸が十分行はれ易いが、低炭素鋼となるに従つて脱酸限界の  $[FeO]$  が大となり  $C 0.20\%$  以下に至れば著しく脱酸を困難ならしむ。

この缺點を補ふものとして、脱酸成生物は殘るが強力の脱酸機能を有する珪素の如き（特にアルミニウム、チタン、カルシウム・シリサイド）強制脱酸剤を還元初期に適用する

\* 鹽基性平爐法では  $K_s = 8 \sim 15$

白色銅滓法が利用せられる。同法は迅速脱酸にあるのみならず爐熱の低下せざることであり發熱反応<sup>3)</sup>なるが故に還元初期の銅滓置換による爐熱の低下を補ひ、湯熱の調整及び作業操作を容易ならしめ殊に弱カーバイト銅滓で作業する關係上地金中の C% の變化少く出鋼成分の的確を期待し得る等の利點を指摘せねばならぬ。然し一方にはこの方法の不利益の點として熔銅の動搖少きため夾雜微滓の鎮靜に技術的注意を要すること、過度の SiO<sub>2</sub> 成生による銅滓の崩れ易き缺點が挙げられる。

低炭素鋼の實例として T 級珪素鋼 (0.08% C, 4.0% Si) 精鍊法に於て、(A) 還元初期に相當多量の珪素粉を使用せるもの、(B) 少量の炭素粉のみを使用し爐内のガス還元による2通りの方法について各々 10 熔解以上の比較統計を

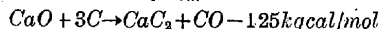
第 2 表 硅素鋼製鋼法別による比較表  
(八幡入江技師調査)

	A …… 硅素強制脱酸法			B …… 擴散法		
	製鋼時間			1h當り製 鋼重量 kg	電力消費 量 kWh/t	
	熔解時間 h mn	還元時間 h mn	合計 h mn			
A	3.36	1.00	4.44	212	766	
B	3.45	2.05	5.50	195	797	
	合計					
	還元初期造滓材料 kg/t 熔銅					
	石灰	フエロシリコン	螢石	フエロシリコン kg/t當り熔銅	アルミニウム	フエロシリコン 歩留り%
A	17.5	5.7	2.3	61	0.89	90.4
B	27.0	0	1.7	61	0.94	90.4
	成 品 分 析 %					
	C	Si	Mn	P	S	分塊歩留 り%
A	0.07	4.21	0.15	0.020	0.010	84.2
B	0.07	4.18	0.15	0.017	0.012	—
	鐵損 W/kg					
	W10/30	1.29以下	1.30-1.35	1.36-1.40	1.41-1.45	平均値
A	2	47	36	15	1.358	
B	12	32	55	45	1.368	

示すと第2表の通りである。(A) 法は(B) 法より優り即ち還元期 1h を短縮し馳當りの電力 31kWh 少く、又成品

3) 八幡 雀部技師の計算

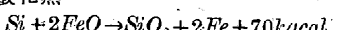
i) 炭化カルシウムの成生熱



カーバイト銅滓は銅 1t に對し 60kg 作る。銅滓には CaC<sub>3</sub> が 5% 生じたるものとすれば 3kg の CaC<sub>3</sub> の成生に相當する。即ち CaC<sub>3</sub> 3kg では 5.850 kJ/mol

1t 銅を 1°C 上昇に要する熱量を 167 kJ/mol とすれば  
 $5.850 / 167 = 35^{\circ}\text{C}$  降低

ii) 硅素の酸化熱



3kg Si に對し +7,500 kJ/mol

銅 1t 當りに 3kg Si を加へるとすれば  
 $7,500 + 167 = 45^{\circ}\text{C}$  上昇

の電氣試験に於て不同少く凡ての點に於て良成績を示せり。

斯く考へ来るとき電爐製鋼の還元法として

高炭素鋼——カーバイト法

低 " ——白色銅滓法

を絶體有利とすること何人も論議の餘地を認めざる所であるが、こゝに問題となるのが 0.15~0.30% C 範圍の所謂軟鋼質級の場合であらう。從來普通カーバイト法が専ら採用されてゐるが、これに於ける程度の白色銅滓法を併用しこれを弱カーバイト法と假稱すれば兩法の缺點を救濟し得べく

第 3 表 クロムモリブデン鋼の普通カーバイト

法と弱カーバイト法との比較成績

A …… カーバイト法 B …… 弱カーバイト法 (8t 爐)

	酸化期 C%			還元初期		
	熔落	末期	脱硫剤			強制脱酸剤 kg
A	0.39	0.11	CaO	250	コークス	25
			CaF <sub>2</sub>	40		
B	0.32	0.11	CaO	180	コークス	15
			CaF <sub>2</sub>	26	フェロシリコン 10%	
					アルミニウム 少量	
	製鋼時間			出鋼溫度 °C	鎔入溫度 °C	電力消費 kWh/t
	酸化	還元	合計			
A	54	2.03	2.57	1635	1530	826
B	57	1.59	2.55	1638	1530	759
	化學成分 %					
	C	Si	Mn	P	S	Cr Mo
A	0.30	0.24	0.48	0.013	0.013	0.95 0.25
B	0.29	0.25	0.51	0.015	0.011	1.03 0.21
	機械試験 kg, %					
	成 品 斷面	降伏點 mm	力 mm	伸 25°	絞 25°	ブリネル 20°
A		77.7	88.7	23.8	69.4	263
B	150~200 g	79.9	88.3	25.1	68.4	265
						22.0

今後の研究課題であらうと考へる。0.30% C, Cr-Mo 強軟鋼について最近比較研究せる各 10 熔解宛の平均成績を示すと第3表の通りである。壓延歩留り、合格率共に殆ど兩者差無きも弱カーバイト法が電力消費量少く、操業幾分容易である。

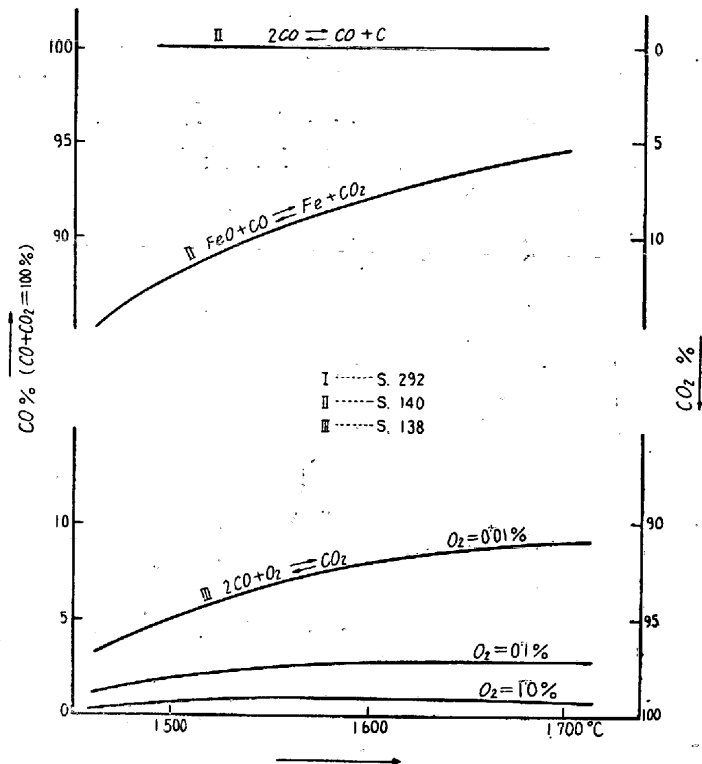
弱カーバイト法の製鋼要領を附記すれば

i) この方法の重點は還元初期の脱硫剤に混入すべき強制脱酸剤の配合にして熔銅が 8 分通り鎮靜される程度を可とす。

ii) 精鍊期間中は爐内のガス圈をして充分還元に保持しながら途中のフェロシリコン粉の撒布を行ふべきことである。

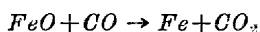
次に爐内のガス圧の状態が還元の進行に對し重要密接なる關係がある。爐體に間隙あれば單に熱の損失となるのみならず還元反応を著しく阻止する。それは銅滓中に無数

に浮遊する鐵粒が少量の  $O_2$  或は  $CO_2$  の存在によりても容易に酸化鐵となり、又還元補助剤として珪素鐵粉を使用するも無益に消耗せられ反つて鹽基度を低下し銅滓の調整を不良ならしむ。従つて還元期に於ては還元法の如何を問はずガス雰囲気を力めて還元性にすることが絶対必要である。第6圖はこの關係を示す平衡圖にして H. Schenck の

第6圖  $CO$  ガスによる反応平衡圖

H. Schenck; Physikalische Chemie der Eisenhüttenprozesse Band I

文献により一部計算して求めたものである。I式より明かなる如く



の反應を進めるためには少くとも 93% 以上の  $CO$  ( $CO + CO_2 = 100\%$  1630°C) を必要とすべく、これ以下では還元不能なることを知るべく、又 II 式は銅滓中に少量の遊離炭素があれば殆ど全部の  $CO_2$  は  $CO$  となるべく、又 III 式に示す通り少量の空氣が存在すれば  $CO$  の大部分が  $CO_2$  となり爐内状況が著しく酸化性となることを知るべく、従つて還元状態を維持せんとすれば爐内完全密閉に加へて常に少量の炭素粉の存在を必要とすべし。實際爐況乃至銅滓の状態とガス分析の結果と對照して見ると良好なる場合常に  $CO_2$  1% 以下、 $CO$  50% 前後を含有し、カーバイト強き程  $CO$  の含量を増加しこれに反し爐況不良なる場合は概ね  $CO_2$  の含量を増し  $CO$  は低下する。爐内ガス成分は

爐況判断の尺度であり、爐内より噴出するガスの多少、火炎等少しく注意すれば爐況を容易に観測し得べし。

尚爐内ガス分析の實例を示せば第4表の如くである。

第4表 爐内ガス分析表(體積%)

	$CO_2$	$O_2$	$CO$	$H_2$	$CH_4$	$N_2$
電爐、酸化期	5~10	1~10	2~15	0~0.5	0~2	60~80
同上、還元期	0~2	0~1	40~70	0~5	0~5	30~60
鹽基性平爐	8~10	4~8	2~5	0	0	75~85

作業實例に就きては第14圖参照せられたし。

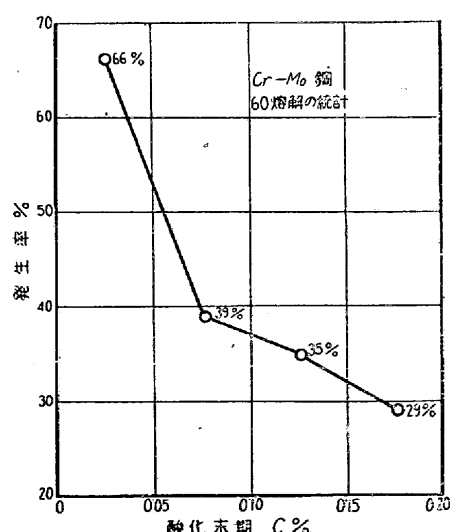
さて高級鋼では夾雜微滓が常に問題となる。これに就ては今日各方面より研究されつゝあるが精錬の實績と對照し主要原因を探索すると次の諸問題が挙げられる。

i) 酸化及び還元時間の延長である。如何に爐床及び耐火材が堅固でも長時間高溫度に曝されれば熔蝕著しかるべきこの不良なる條件では微滓の少き良質の鋼を望むことは不可能である。微滓問題に關聯して先づ第一に解決せねばならぬことを主張する。合理化せる作業方式の下に分析、測熱、計器の完備と相俟ちて成分及び湯熱の調整を迅速にすることが必要である。酸化時間は 1h、還元時間は 2h を限度とするやうである。

ii) 酸化末期の C% を必要限度以下に低下せしめざること。殊に C 0.08% 以下に低下する必要のあるときには過酸化の點に留意すべきである。鋼材断面に不純夾雜物の環状形に密集し所謂リングゴーストの生ずる事あり、Cr-Mo 鋼につき經驗せる實例を第7圖に示せり。酸化末期の

C% 低下する程不良率は增加する。

iii) 還元期に於ける微滓の銀靜關係である。カーバイト法では湯の動搖あり、微滓の浮揚につきても比較的有利なるが白色銅滓法の如き或は既述の弱カーバイト法の場合には湯の動搖少く、且還元初期に相當多量の脱酸成生物が発生するので適度の攪拌を與へねばならぬ。又出銅直前に多量の酸化し易き合金剤の加入はなるべく禁物である。



第7圖 リングゴースト及砂疵發生率

iv) 出銅より鑄造までの間に案外多量の微滓の增加の

問題がある。鑄造の本則として爐内にある状態からその儘の状態で鑄型に移さるべき概念である。出鋼の際鋼滓が微粒となりて地金中に捲き込まれるので湯が出て然る後鋼滓が出るやうに工夫を要すること勿論、鋼滓中の  $FeO$  の少しこと、鋼滓が幾分硬目であること、又取鍋の十分なる乾燥等が注意すべき問題である。

以上鋼中に夾雜微滓の発生する數多の機會が考へられ、今日尚未解決の問題が多いが少くとも微滓の増加する時期乃至出來得れば原因をも推知すべき一つの便法として波湯試料に対する検鏡検査<sup>4)</sup>を推奨する。第8図及び第9図は 0.50% C, 2.0% Si のバネ鋼につき夫々カーバイト法及び弱カーバイト法を以て比較研究せる當時の實例である。普通

<sup>4)</sup> 波湯鋼塊は立型 54 mm × 54 mm の断面寸法を有し、これを 17 mm × 17 mm に鍛造し 850°C 水冷し、その中央縦断面に就き測定す。介在物の算定法は八幡製鐵所森寺技師の方案による。

介在物値 = 比分布 × 比厚

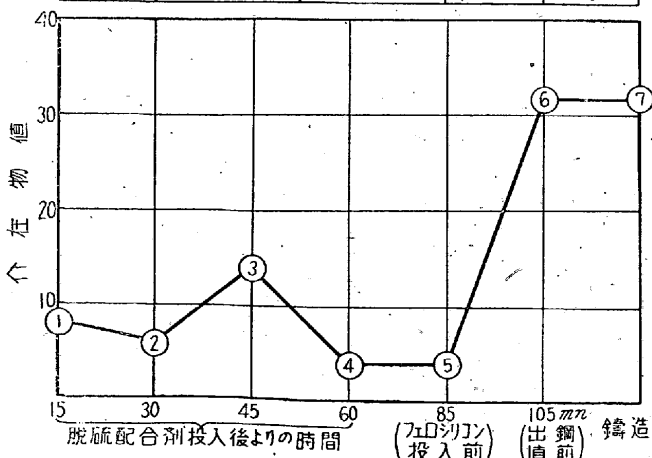
比 分 布 =  $2^{N-1} N$  は介在物番號

比 厚 =  $M^2/9 M$  は介在物の厚さ

製鋼番號	化 學 成 分 %				
	C	Si	Mn	P	S
E36434	0.51	2.00	0.73	0.019	0.006

製鋼法 3連炉 カーバイト法 酸化末期 C 0.31% Mn 0.11%，脱硫配合石灰 100，萤石 20，外にアルミニウム 0.5 7.10 マンガン 20，炭素粉 13 とす 鋼滓カーバイト 還元末期黄白色。炉況順調なり。 (重量 kg)。

試料番號	介在物番號 A B	厚さ μ A B	介在物値	判 定
(1)	0 2	0 6	8	甲
(2)	0 2	0 5	6	甲
(3)	0 4	0 4	14	乙
(4)	0 3	0 3	4	甲
(5)	0 1	0 6	4	甲
(6)	0 4	0 6	32	丙
(7)	0 4	0 6	32	丙



第 8 圖

カーバイト法では還元初期から概して微滓少くこの状態がフェロシリコン投入前まで續き、弱カーバイト法では初期多く次第に減じ約 1h 経過して最低となり爾後フェロシリコン加入前まで變化なし。カーバイト法では地金中に  $FeO$  を熔解してゐるため殊に小試料では比較的微滓として現れ難きによる。フェロシリコン加入後及び鑄造時には兩法共に微滓激増せり。

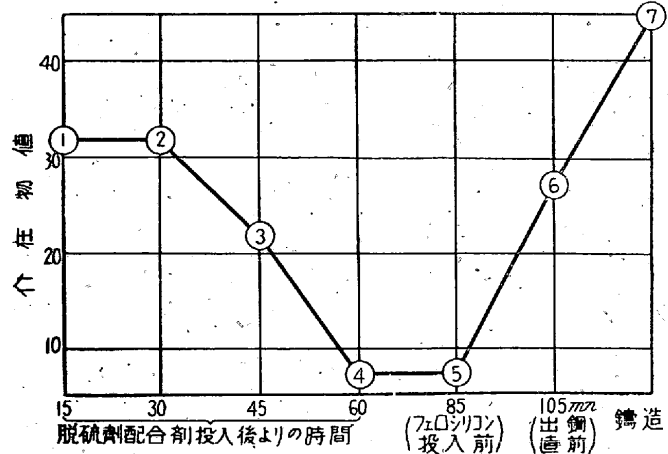
本鋼質はフェロシリコン加入量多從つて  $SiO_2$  系の微滓の増加となつたことと思はれる。第10圖及び第11圖は検鏡寫真である。

又第12圖は Cr-Mo 鋼につき弱カーバイト法の研究當初の實例にして脱酸剤配合投入してより 36mn 経過 出鋼直前及び鑄造時の3回波湯せる検鏡成績にして A が普通カーバイト法、B が弱カーバイト法で前例と略相似たる経過を示せり。

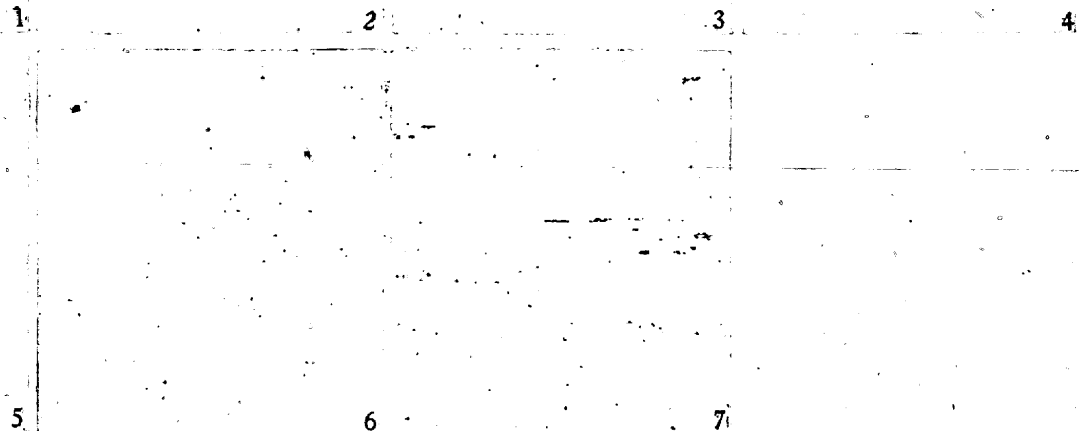
製鋼番號	化 學 成 分 %				
	C	Si	Mn	P	S
E36401	0.54	2.16	0.75	0.034	0.007

製鋼法 3連炉 弱カーバイト法 酸化末期 C 0.26% Mn 0.26%，脱硫配合石灰 80，萤石 10，フェロシリコン 25，外にアルミニウム 0.5 シリコンマンガン 15，炭素粉 11 とす 鋼滓黄白色。炉況順調なり。重量 kg

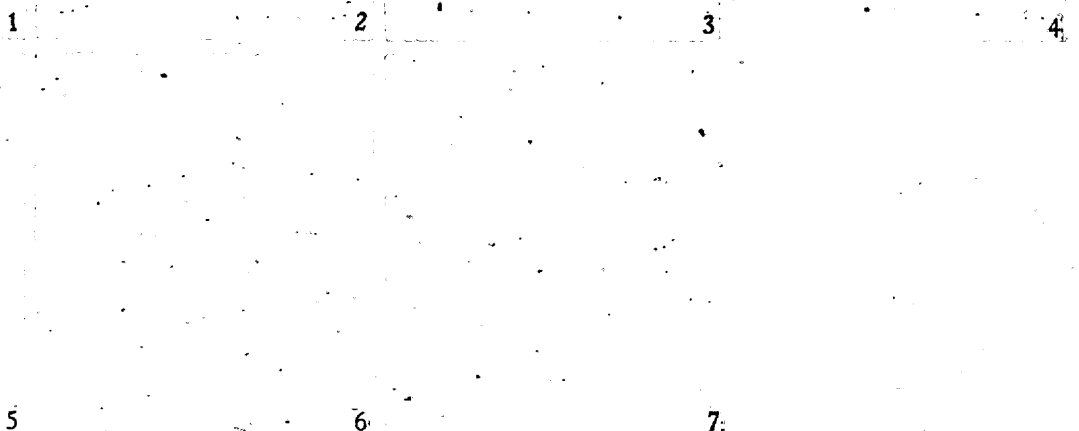
試料番號	介在物番號 A B	厚さ μ A B	判 定	
			甲	乙
(1)	0 4	0 6	32	丙
(2)	0 4	0 6	32	丙
(3)	0 4	0 5	22	乙
(4)	0 4	0 3	7	甲
(5)	0 4	0 3	7	甲
(6)	0 4	0 6	32	丙
(7)	0 5	0 5	45	丙



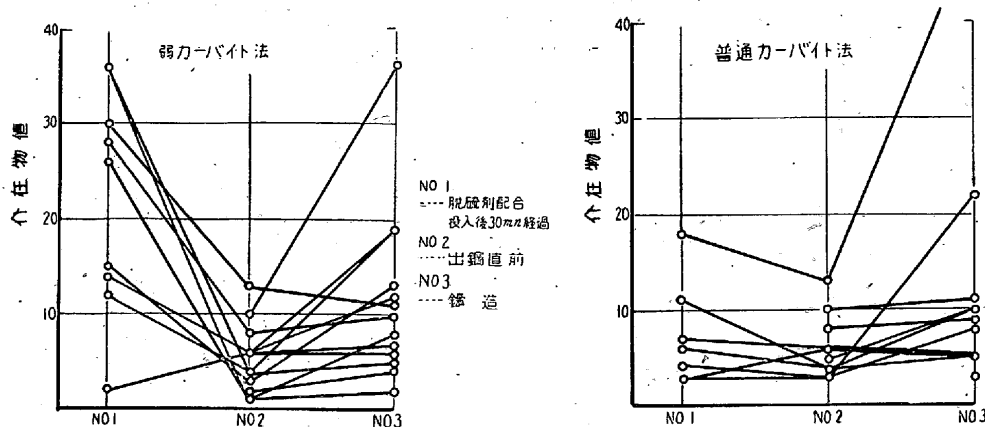
第 9 圖



第10圖 SAE 9255 非金屬介在物寫真 E 36434 カーバイド鋼津法 × 100



第11圖 SAE 9255 非金屬介在物寫真 E 36401 弱カーバイド鋼津法 × 100



第12図 還元期に於けるNi-Cr鋼の介在物状況

#### IV. 作業方式

精錬上の基本的要項につき抽象的ながら一通り前述せるが、更に實際作業への運用に當り原料問題、爐の設備に限定せらるゝ技術的工夫其の他今日深く取扱はれてゐるマルテンサイト系合金鋼の白點、偏析、脱ガス等今後の研究に俟つべき幾多の課題があるも、取敢ず作業工場として第

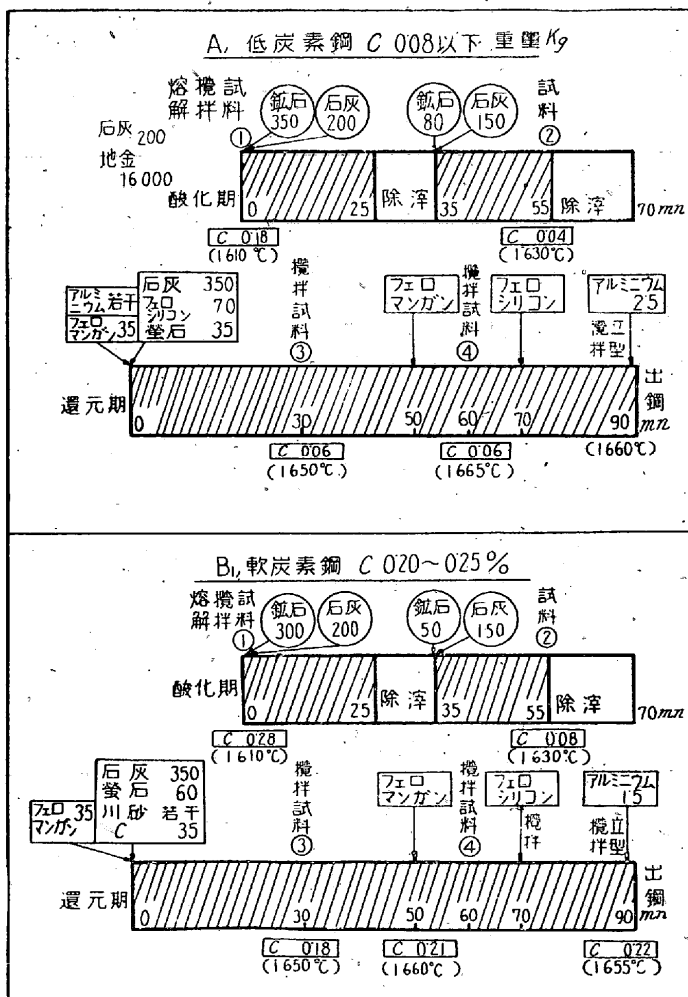
一に考究し置くべき問題は標準作業方式の設定である。それは繰返し述べるが高級鋼が常に品質の揃つたものを要求し、又冶金的觀念の乏しき工員の急速訓練の必要に基くものである。作業方式の選定に當り痛感せられる問題は工場條件のみならず精錬中天井爐壁の熔蝕による $SiO_2$ の鋼滓への不定增加である。これは

迅に爐體構造の改善により完全に防禦するか、已むを得ざれば最小限度にすべき問題でこれが解決せざれば標準方式の作業への適用は不可能である。

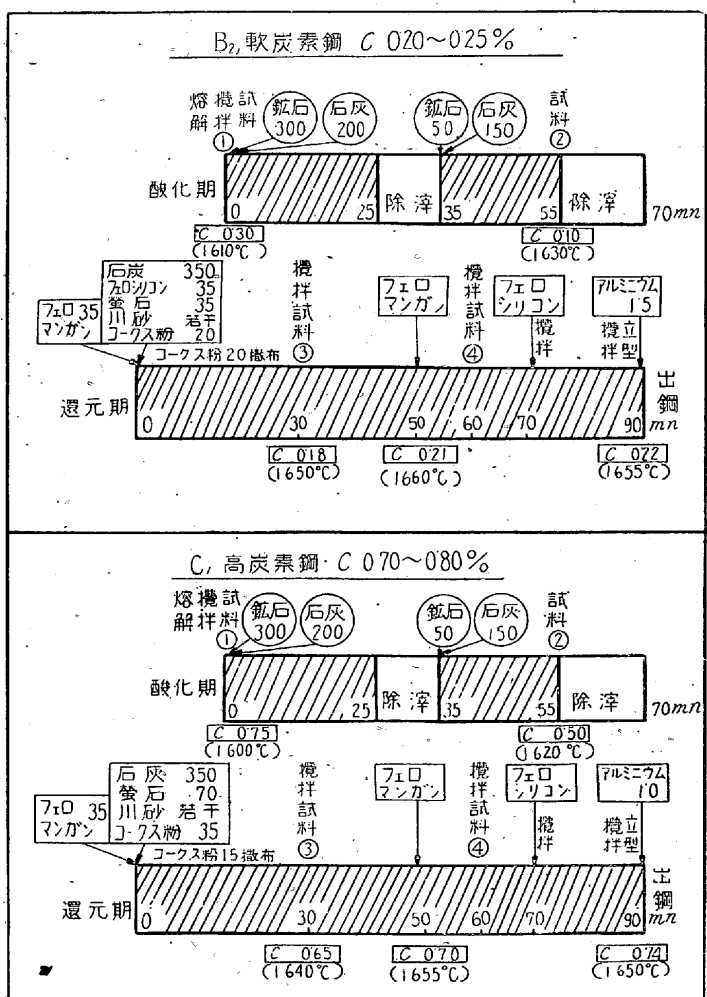
次に標準方式を實際作業へ適用するに當り必要にして最小限度の精錬各期に於ける問題を指摘するに次の如し。

##### (1) 地金中のC%の調整

第6表 15. 脱平爐の標準製鋼方式(1)



第6表 15. 脱平爐の標準製鋼方式(2) (重量 kg 單位)



第5表

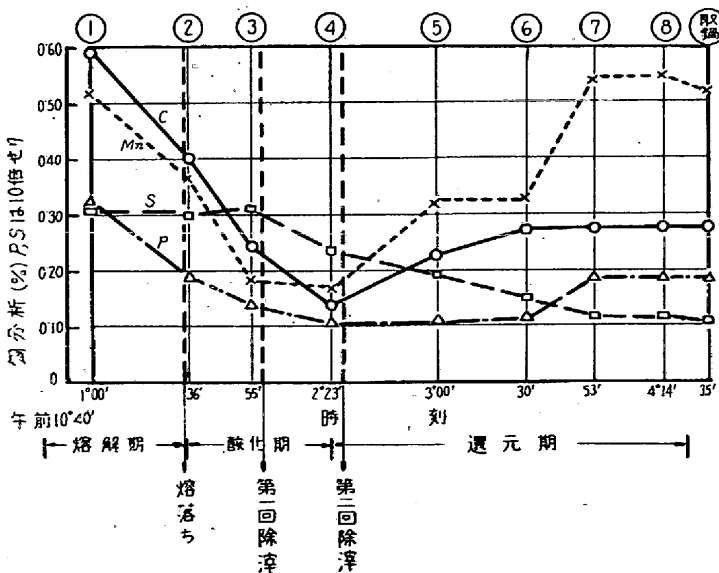
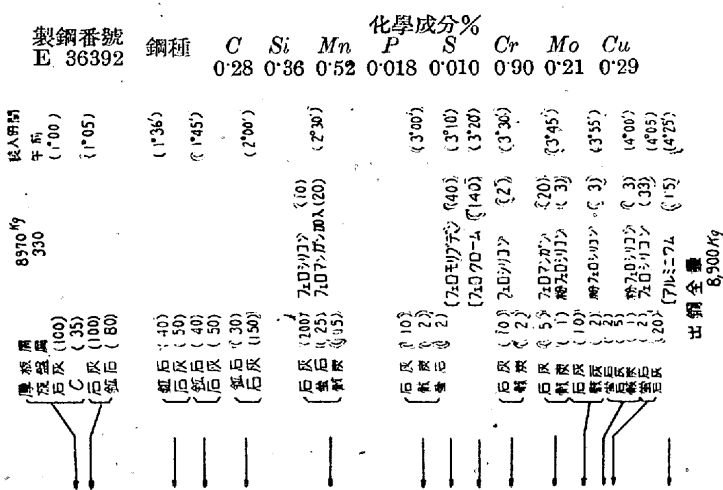
製鋼時期	C %	鋼滓成分%			
		SiO <sub>2</sub>	CaO	$\Sigma Fe$	
熔落期 酸化期	脱炭 -0.15~0.30	20 45 8 15 45 18			
還元初期 中期 末期	與炭 +0.15~0.25	15 65 1 18 65 1 20 60 0.5~1.0	普通カーバイド法 カーバイド最高1.0~2.0% 弱カーバイド法 カーバイド最高0.5~1.0%		
備考	出鋼成分 A 熔落成分 B B = A + (0.05~0.10%)				

## (2) 鋼滓成分及び鋼滓量

## (3) 溫度の調整

## (4) 製鋼時間

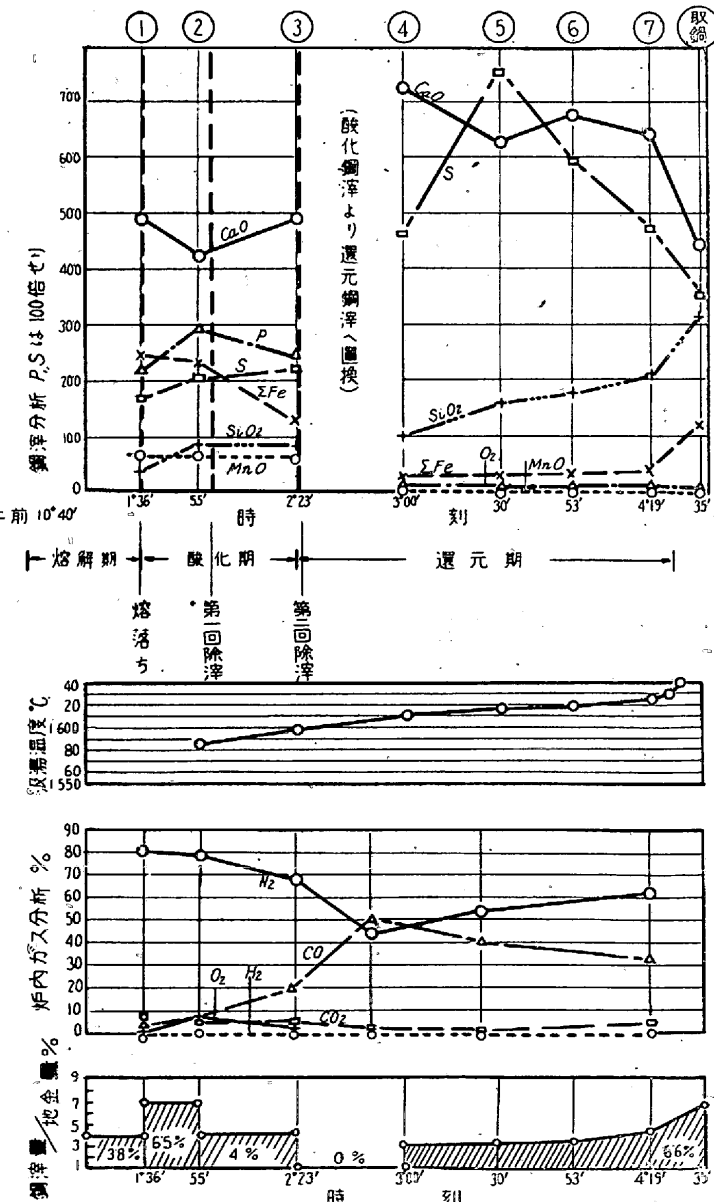
製出鋼の鋼質成分に應じ熔落より出鋼に至る各工程に於て C% を如何に調整せらるべきであるかは熔解操作として最重要なる事項でありこれが解決すれば自ら各工程の細目に亘る準備及び方針が生れる筈で鋼質の硬軟、還元期の



第13圖

熔解法により多少差異あるべきも、その目標を鋼滓成分の目標と併せて表示すれば第5表の通りである。熔落期の C% は大體出鋼成分に對し 0.05~0.10% 多くとればよろしい。標準方式では同一鋼質成分に對し常に熔落期の C% が一定となる如く努力すべきでその調整は 8 分通り熔解せる時期に分析採取し、豫定より C% 低きときは電極突込みにより加炭するか或は銑鐵により補給すべく、又高過ぎたるときには完全熔解以前に早目に礫石加入すれば有利である。

さて當八幡製鐵所に於て實施してゐる 15 瓶爐に於ける高級鋼標準作業方式について低炭素、軟炭素、高炭素鋼の 3 例を紹介すれば第6表の通りである。裝入地金原料は普通炭素鋼屑にして P 0.08% 以下の場合であり高炭素鋼の



第14圖

場合には銑鐵一部配合或は加炭によつて行はれる一般普通の實例である。

終りに爐容 8 吨爐に於ける Cr-Mo 鋼の作業實例を附記す。作業經過の概況は第 13 圖及び第 14 圖に一括して示せり、8 分通り熔解のとき試料分析せるに C 0.60% あり、豫定の C 0.40% よりも高目なることを知つたので全熔解前に餘分に鑛石を使用せり。2 回除滓法を適用し第一次酸化期の地金に對する鋼滓比は 6.5% にして第 2 次酸化期に移るとき 8 分通り除滓せり。又第 2 次酸化期では少量の鑛石投入に止め専ら昇熱と第 1 次酸化期の過酸化の防止を計れり。酸化末期の C% は 0.14 にして略豫定通りなり。還元配合材には少量のフェロシリコンを加へ、又還元中期の最高カーバイドは大體 1% 見當とせり。還元初期鋼滓中の CaO 73% あり、螢石で調節せるが豫め配合材に少量の SiO<sub>2</sub> 質のものを加ふべきであらうと考へる。還元鋼滓の調整としてその初期は専ら C 粉及び螢石添加により行ひ後半期は珪素粉を使用せり。

## V. 結論

塩基性電爐製鋼法を作業上より仔細に検討すれば技術上種々の問題あるべく、殊に原料地金及び爐の型式等に就きても亦重要研究項目であるが、茲に精錬上の問題につき一應結論を與へると次の如くである。

- 1) 製出鋼の品質的に揃つたもの且順調なる連續作業を望むためには合理化せる一定の標準作業方式を選定せねばならぬ。
- 2) 特に高温作業なることを考慮しなるべく酸化及び還元の操作を迅速に處理し、爐材の熔蝕に留意して作業方式を設定すべきである。
- 3) 爐の觀測に對してはなるべく計器分析設備を動員し、一方理論の應用、判断の適確を期し鋼を作る者自身が鋼の甲乙を直接鑑定すべく訓練せらるべきである。
- 4) 酸化精錬に對しては 2 回除滓法を推奨する。還元精錬に就きては強制脱酸剤の活用に將來性があるやうである。

## 代用鋼の吟味

(日本鐵鋼協會第 27 回講演大會講演 昭. 17. 4. 東京)

富川直正\*

### EINIGE UNTERSUCHUNGEN UEBER NICKEL-FREIE BAUSTAEHLE

Naomasa Tomikawa

**ZUSAMMENFASSUNG:** Bei der Abschreckung Cr- und Cr-Mo-Stähle kristallisiert der nadelartige Ferrit sich leicht heraus, so muss man, um ihnen hohe Festigkeit zu geben, verhältnismässig niedrige Anlasstemperaturen wählen. Der nadelartigen Ferrit haltende Stahl hat natürlich die niedrigere Kerbzähigkeit als der aus Martensit angelassene, aber der erstere steht doch dem letzteren an der Ermüdungsgrenze nicht nach.

Die Oelabschreckung, die nach der Raschabkühlung durch Wasser bei einem Temperaturgebiet, etwa 600°C, folgt, verhindert die Präzipitation des nadelartigen Ferrits und man erhält damit die gleiche Resultat betreffs der Abschreckungseffekt als die völlige Wasserabschreckung und außerdem kann man die Härtersissen vermeiden.

Aus den Ergebnissen, dass Cr-Mo-Stähle höhere Dauerstandfestigkeit und schwächere Brüchigkeitsanfälligkeit durch Langzeitserhitzung als Ni-freie Stähle haben, mag man schliessen, dass die erstere für die an der hohen Temperatur und hohem Druck ausgesetzte Scheibe vielmehr geeignet sind.

### 目次

I. 緒言	IV. 燒辰脆性
II. 質量効果	V. 試作翼車
III. 疲労限	VI. 結言

### I. 緒言

昭和 15 年 6 月三菱重工業株式會社長崎製鋼所に代用鋼

\* 三菱重工業株式會社長崎製鋼所

研究委員會が設けられ、其一部に於ては造機材料、特に其當時商工省より發表された暫定代用規格鋼 5 種類に就き規格の検討、試作品の製作、其材質調査等を受持つた。此等鋼種に就ては其後他社に於ても同様に検討が加へられ、其研究結果は已に多數發表もあり、又規格も改良を加へられ臨時日本標準規格として制定されるに至つて居る。此處に當所委員會の研究結果を發表するに當つてもなるべく從來